


Introduction aux phénomènes quantiques

1


Module P411 pour DEUST MIP
Mécanique du solide et Mécanique quantique
Partie : Mécanique quantique

 Université Hassan II - Mohammedia
Faculté des Sciences et Techniques

Mécanique quantique J.Mejjane & E.H.Atmami

2

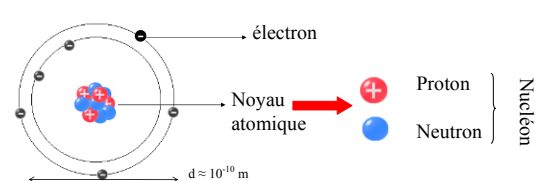
Chapitre I :
Introduction aux phénomènes quantiques

 Université Hassan II - Mohammedia
Faculté des Sciences et Techniques


Mécanique quantique J.Mejjane & E.H.Atmami

3

Physique quantique : c'est la physique des phénomènes microscopiques à l'échelle atomique ou sub-atomique, elle étudie les interactions matière-rayonnement.



La matière et le rayonnement subissent le même traitement.
Les particules se comportent comme des ondes. Et les ondes se comportent comme des particules.

 Université Hassan II - Mohammedia
Faculté des Sciences et Techniques

Mécanique quantique J.Mejjane & E.H.Atmami

4


Les ondes électromagnétiques ont un Aspect corpusculaire

λ : longueur d'onde	$E = \hbar \omega = h \nu$	Énergie
ν : fréquence c/λ	$\vec{p} = \hbar \vec{k}$	Quantité de mouvement
ω : pulsation $2\pi \nu$	$k = \frac{\omega}{c} = \frac{2\pi \nu}{c} = \frac{2\pi}{\lambda}$	Nombre d'onde Où vecteur d'onde

Les particules ont un Aspect ondulatoire

$\lambda = \frac{h}{p} = \frac{h}{mv}$	λ : longueur d'onde
	m : masse de particule
	v : vitesse de la particule

$h = 6.6261 \cdot 10^{-34} \text{ J} \cdot \text{s}$; $c = 3 \cdot 10^8 \text{ m/s}$ $\hbar = \frac{h}{2\pi}$

 Université Hassan II - Mohammedia
Faculté des Sciences et Techniques

Mécanique quantique J.Mejjane & E.H.Atmami

Introduction aux phénomènes quantiques

5

1) Physique classique

Les théories physiques du 19^{ème} siècle, permet de décrire l'évolution de 2 catégories d'objets très différents qui transportent de l'énergie à savoir :

Les particules : Elles sont localisées dans l'espace. A chaque instant, on peut connaître exactement leur position et leur vitesse et en déduire leur impulsion et leur énergie

$$\begin{array}{c} (\vec{r}(M), \vec{v}(M)) \\ \swarrow \quad \searrow \\ \text{position} \quad \text{vitesse} \end{array}$$



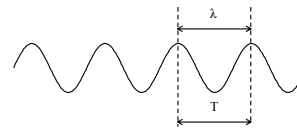
Université Hassan II - Mohammedia
Faculté des Sciences et Techniques

Mécanique quantique

J.Mejjane & E.H. Atmani

6

Les ondes : Elles ne sont pas localisées dans l'espace. On les caractérise par leur vecteur d'onde $k = 2\pi/\lambda$ et leur impulsion $\omega = 2\pi/T$. Elle transportent de l'énergie mais celle-ci est répartie sur tout le front d'onde. Les ondes donnent naissance à des phénomènes très particuliers tq les interférences, la diffraction, la polarisation.



λ période dans l'espace

T période dans le temps

$$\lambda = v \cdot T : \text{la distance parcourue par l'onde pendant une période}$$



Université Hassan II - Mohammedia
Faculté des Sciences et Techniques

Mécanique quantique

J.Mejjane & E.H. Atmani

7

La physique classique reposait sur 3 disciplines fondamentales :

- La mécanique newtonienne : elle permet de prédire l'évolution des particules ainsi que les ondes connues avant les ondes lumineuses (cordes vibrantes, les ondes acoustiques, ...)

- L'électromagnétisme : il permet d'étudier la propagation des ondes sans support comme les ondes lumineuses.

- La thermodynamique : la science de la chaleur et des machines thermiques ou la science des grands systèmes en équilibre



Université Hassan II - Mohammedia
Faculté des Sciences et Techniques

Mécanique quantique

J.Mejjane & E.H. Atmani

8

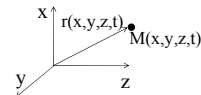
1. 1) La mécanique newtonienne

Particules de vitesse $v \ll c$

($c = 299\,792,458$ km/s est la vitesse de la lumière dans le vide).

a) vitesse

$$\vec{v}(x, y, z, t) = \frac{d\vec{r}(M)}{dt}$$



b) Quantité de mouvement

$$\vec{P} = m\vec{v}$$



Université Hassan II - Mohammedia
Faculté des Sciences et Techniques

Mécanique quantique

J.Mejjane & E.H. Atmani

Introduction aux phénomènes quantiques

9

c) Impulsion $d\vec{P}$

La variation de la quantité de mouvement est égale à l'impulsion

$$\vec{F} dt = m d\vec{v} = d\vec{P}$$

d) Energie

Energie totale = Energie cinétique + Energie potentielle

$$E_{\text{tot}} = E_{\text{cin}} + E_p$$

e) Relation fondamentale de la dynamique

$$\Sigma \vec{F}_{\text{ext}} = \frac{d\vec{P}}{dt} = m \frac{d\vec{v}}{dt}$$

Université Hassan II - Mohammedia
Faculté des Sciences et Techniques

Mécanique quantique

J.Mejjane & E.H. Atmani

10

1. 2) La Relativité restreinte

Particules de vitesse $v \approx c$ ($3 \cdot 10^8$ m/s)

a) L'équivalence masse-énergie (Einstein)

Einstein la masse est une énergie

Particule au repos : $E_0 = m_0 c^2$

Particule en mouvement $E_{\text{tot}} = m_0 c^2 + E_{\text{cin}} = mc^2$

$$E_{\text{cin}} = \frac{mv^2}{2}$$

La relation entre m et m_0 est donnée par

$$m = \frac{m_0}{\left(1 - \frac{v^2}{c^2}\right)^{\frac{1}{2}}}$$

Université Hassan II - Mohammedia
Faculté des Sciences et Techniques

Mécanique quantique

J.Mejjane & E.H. Atmani

Électron : masse $m_e = 9,1 \cdot 10^{-31} \text{ kg} \rightarrow m_e c^2 = 0,511 \text{ MeV}$.
 Proton : $m_p = 1,673 \cdot 10^{-27} \text{ kg} \rightarrow m_p c^2 = 938,3 \text{ MeV}$
 Neutron : $m_n = 1,675 \cdot 10^{-27} \text{ kg} \rightarrow m_n c^2 = 939,6 \text{ MeV}$

b) Quantité de mouvement

$$\vec{p} = m \vec{v} = \frac{m_0 \vec{v}}{\sqrt{\left(1 - \frac{v^2}{c^2}\right)}}$$

c) Energie cinétique

$$E_{\text{cin}} = E_{\text{tot}} - E_0 = \frac{mv^2}{2}$$

d) Energie – quantité de mouvement

$$(E_{\text{tot}})^2 = p^2 c^2 + m_0^2 c^4$$

Université Hassan II - Mohammedia
Faculté des Sciences et Techniques

Mécanique quantique

J.Mejjane & E.H. Atmani

12

1. 3) L'électromagnétisme

Repose sur les Equations de Maxwell (1860),

$\text{rot}(\vec{E}) = -\frac{\partial \vec{B}}{\partial t}$ Equation de Maxwell-Faraday (phénomène d'induction)

$\text{rot}(\vec{H}) = \vec{J} + \frac{\partial \vec{D}}{\partial t}$ Equation de Maxwell-Ampère

$\text{div}(\vec{D}) = \rho$ Equation de Maxwell-Gauss :

$\text{div}(\vec{B}) = 0$ Equation de conservation du flux de B

Université Hassan II - Mohammedia
Faculté des Sciences et Techniques

Mécanique quantique

J.Mejjane & E.H. Atmani

Introduction aux phénomènes quantiques

13

E : champ électrique
 $D = \epsilon E$: déplacement (ou induction) électrique,
 $B = \mu H$: induction magnétique,
H : champ magnétique,
J : courants de conduction
 ρ : densité volumique de charges libres
 ϵ : permittivité du diélectrique = $\epsilon_0 \epsilon_r$, ϵ_0 la permittivité du vide = $\frac{1}{36 \pi 10^9}$
et ϵ_r la permittivité relative.
 μ : perméabilité du milieu = $\mu_0 \mu_r$, μ_0 la perméabilité du vide = $4\pi 10^{-7}$
 μ_r la perméabilité relative ≈ 1 .

Université Hassan II - Mohammedia
Faculté des Sciences et Techniques

Mécanique quantique

J.Meziane & E.H.Amani

14

2. Aspects corpusculaires des ondes électromagnétiques

Université Hassan II - Mohammedia
Faculté des Sciences et Techniques

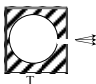
Mécanique quantique

J.Meziane & E.H.Amani

15

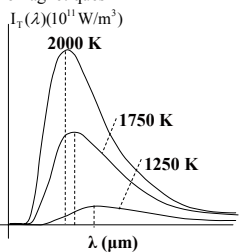
2.1) Le problème du corps noir

Tout corps chauffé émet des ondes électromagnétiques



Observations expérimentales :

- Energie émise = σT^4
(Loi de Stefan-Boltzmann)
- Existence d'un max. ($\lambda_m \propto 1/T$)
filament rouge au blanc
- Chute de l'énergie émise pour λ faible



$\lambda(\mu m) T(K) = 2,8987 \cdot 10^{-3}$
 $\sigma = 7,56 \cdot 10^{-16} \text{ J} \cdot \text{K}^{-4} \cdot \text{m}^{-3}$

L'existence du maxima λ_m est inexplicable par la physique classique

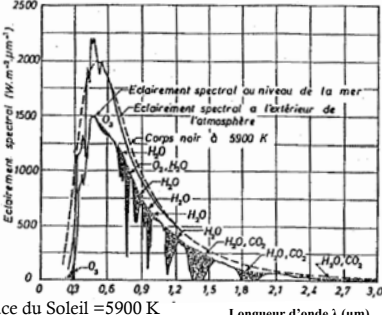
Université Hassan II - Mohammedia
Faculté des Sciences et Techniques

Mécanique quantique

J.Meziane & E.H.Amani

16

Le pic du rayonnement solaire est situé à 0,49 μm environ.



- 98% du rayonnement est compris entre 0,25 et 3,9 μm
- pratiquement 100% entre 0,15 et 5 μm
- 10% dans l'UV, 45% dans le visible et 45% dans le PIR

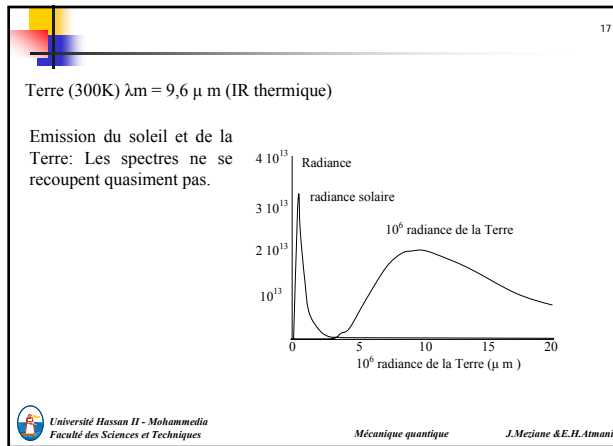
la température à la surface du Soleil = 5900 K

Université Hassan II - Mohammedia
Faculté des Sciences et Techniques

Mécanique quantique

J.Meziane & E.H.Amani

Introduction aux phénomènes quantiques



18

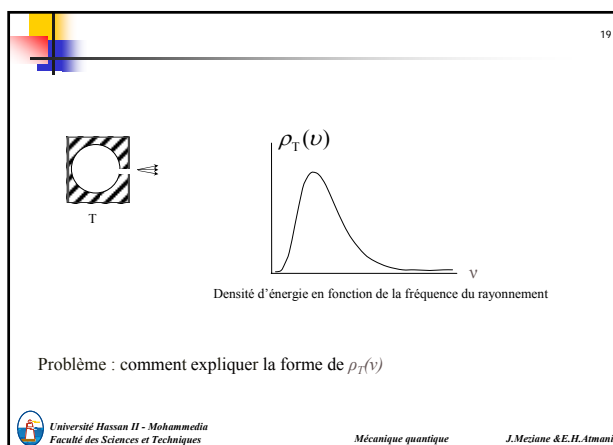
Corps noir : substance qui absorbe tout le rayonnement qu'elle re oit sans en r  mettre   son tour

- Corps noir : enceinte ferm e, parfaitement absorbante   toutes les longueurs d'ondes, en  quilibre thermodynamique   la temp rature T avec le rayonnement  lectromagn tique qu'elle renferme

Universit  Hassan II - Mohammedia
Facult  des Sciences et Techniques

M canique quantique

J.Mezi ne & E.H. Atmani



20

2.1. a) Id e du calcul

Densit  d' nergie =  nergie/Volume
limit    fr quence $\nu_0 < \nu < \nu_0 + d\nu$

$d\rho = \rho_T(\nu) d\nu = D(\nu) \bar{E}(\nu) d\nu$

densit  de modes du champ  lectromagn tique

 nergie moyenne par mode

La loi de Boltzmann donne la probabilit  d'avoir une  nergie E

$P(E) = \frac{e^{-\frac{E}{k_B T}}}{\int_0^\infty e^{-\frac{E}{k_B T}} dE}$

d nombrement des modes par unit  de volume du corps noir

Pour $\nu \in [0, \infty[$ $\rho = \int_0^\infty \rho_T(\nu) d\nu$

k_B Constante de Boltzman = $1,38 \cdot 10^{-23} J/K$

Universit  Hassan II - Mohammedia
Facult  des Sciences et Techniques

M canique quantique

J.Mezi ne & E.H. Atmani

Introduction aux phénomènes quantiques

21

Soit en longueur d'onde

$$d\rho = \rho_T(\lambda) d\lambda = D(\lambda) \bar{E}(\lambda) d\lambda$$

Densité d'énergie = Energie/Volume limité
à la longueur d'onde $\lambda_0 < \lambda < \lambda_0 + d\lambda$

Pour $\lambda \in [0, \infty[$ $\rho = \int_0^\infty \rho_T(\lambda) d\lambda$

Et que

$$d\rho = \rho_T(\lambda) d\lambda = \rho_T(\nu) d\nu$$

Densité d'énergie en longueur d'onde Densité d'énergie en fréquence

Université Hassan II - Mohammedia
Faculté des Sciences et Techniques Mécanique quantique J.Mejjane & E.H.Amani

22

2.1.b) Loi Rayleigh

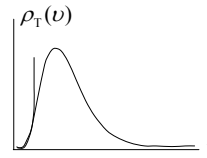
La loi de Boltzman permet de calculer une énergie moyenne pour chaque mode

$$\rho_T(\nu) = \frac{8\pi}{c^3} \nu^2 k_B T \quad \bar{E} = \int_0^\infty E e^{-\frac{E}{k_B T}} dE = k_B T$$

Où en longueur d'onde

$$\rho_T(\lambda) = \frac{8\pi}{\lambda^4} k_B T$$

Ce résultat ne coïncide avec la réalité qu'aux basses fréquences, c'est-à-dire aux grandes longueurs d'ondes (infra-rouge). C'est la « catastrophe d'ultraviolet »



Université Hassan II - Mohammedia
Faculté des Sciences et Techniques Mécanique quantique J.Mejjane & E.H.Amani

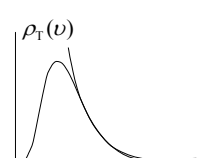
23

2.1. c) Loi de Wein (1896)

Pour les hautes fréquences (petites longueurs d'ondes), Wein établit empiriquement:

$$\rho_T(\nu) = \alpha \nu^3 e^{-\frac{\beta \nu}{T}}$$

ν : fréquence
 $\alpha c^4 \approx 1,5 \times 10^{-15} \text{ W} \cdot \text{m}^2$
 $\beta \approx 0,01439 \text{ m} \cdot \text{K}$
 T : température en kelvins



$\rho_T(\lambda) = \frac{a}{\lambda^5} e^{-\frac{bc}{\lambda T}}$

λ : longueur d'onde
 $a \approx 3,742 \times 10^{-16} \text{ W} \cdot \text{m}^2$
 $bc \approx 0,01439 \text{ m} \cdot \text{K}$
 T : température en kelvins

Université Hassan II - Mohammedia
Faculté des Sciences et Techniques Mécanique quantique J.Mejjane & E.H.Amani

24

2.1.d) Loi Planck, 1900 (Lois du corps noir)

Planck remarque alors (en 1900) que

$$\left. \begin{aligned} \frac{\alpha}{4} c^4 &= 2 \pi h c^2 \\ \beta &= \frac{hc}{k_B} \end{aligned} \right\} \Rightarrow \frac{\alpha}{\beta} = \frac{8\pi}{c^3} k_B \Rightarrow \rho_T(\nu) = \alpha \nu^3 \frac{1}{e^{\frac{\beta \nu}{T}} - 1}$$

Rend compte à la fois des deux formules :

$$\nu \ll \frac{T}{\beta} \rightarrow \rho_T(\nu) = \alpha \nu^3 \frac{1}{1 + \frac{\beta \nu}{T} - 1} \approx \frac{\alpha}{\beta} T \nu^2 \quad \text{Rayleigh}$$

$$\nu \gg \frac{T}{\beta} \rightarrow \rho_T(\nu) = \alpha \nu^3 e^{-\frac{\beta \nu}{T}} \quad \text{Wein}$$

Université Hassan II - Mohammedia
Faculté des Sciences et Techniques Mécanique quantique J.Mejjane & E.H.Amani

Introduction aux phénomènes quantiques

25

Planck fait l'hypothèse que les seules énergies possibles pour un mode de fréquence ν s'écrivent $E_n = n h \nu$ où il a introduit :

$$h = \frac{\beta k_B}{c} = 6,6210^{-34} \text{ J.s} \quad \text{Constante de Planck}$$

Avec cette hypothèse l'énergie moyenne (Physique statistique) $\bar{E} = \sum_{n=0}^{\infty} P_n E_n$

E_n énergie de l'oscillateur $= n h \nu$
 P_n Probabilité de E_n

$$P_n = \frac{e^{-\frac{E_n}{k_B T}}}{Z_T}$$

et $Z_T = \sum_{n=0}^{\infty} e^{-\frac{n h \nu}{k_B T}} = \frac{1}{1 - e^{-\frac{h \nu}{k_B T}}}$

Université Hassan II - Mohammedia
 Faculté des Sciences et Techniques

Mécanique quantique

J.Mejjane & E.H.Atmami

26

Sachant que $\frac{d(e^{-uE})}{du} = -E e^{-uE}$

D'où

$$\bar{E} = \sum_{n=0}^{\infty} \frac{E_n e^{-\frac{E_n}{k_B T}}}{Z_T} = \frac{1}{Z_T} \sum_{n=0}^{\infty} E_n e^{-\frac{E_n}{k_B T}} = -\frac{1}{Z_T} \frac{d \sum_{n=0}^{\infty} e^{-\frac{E_n}{k_B T}}}{d \left(\frac{1}{k_B T} \right)}$$

On établit finalement que :

$$\bar{E} = - \frac{dZ_T}{d \left(\frac{1}{k_B T} \right)} \frac{1}{Z_T}$$

Soit

$$\bar{E} = \frac{h \nu e^{-\frac{h \nu}{k_B T}}}{\left(1 - e^{-\frac{h \nu}{k_B T}} \right)^2} \left(1 - e^{-\frac{h \nu}{k_B T}} \right) = \frac{h \nu}{e^{\frac{h \nu}{k_B T}} - 1}$$

Université Hassan II - Mohammedia
 Faculté des Sciences et Techniques

Mécanique quantique

J.Mejjane & E.H.Atmami

27

Lois de Planck :

« l'énergie stockée dans un mode de fréquence ν et un multiple entier de l'énergie $h \nu$ »

Conduit à

$$\rho_T(\nu) = \frac{8 \pi h}{c^3} \frac{\nu^3}{e^{\frac{h \nu}{k_B T}} - 1} \quad \text{Avec} \quad h = 6.6261 \cdot 10^{-34} \text{ J.s}$$

$$\rho_T(\nu) = \frac{8 \pi h c}{\lambda^5} \frac{1}{e^{\frac{hc}{\lambda k_B T}} - 1} \quad \begin{matrix} \nu & \text{fréquence} \\ \lambda & \text{longueur d'onde} \end{matrix}$$

On retrouve également la loi de Stefan Boltzmann (1879)

$$\rho = \int_0^{\infty} \rho_T(\nu) d\nu = \sigma T^4 \quad \text{Avec} \quad \sigma = 7,56 \cdot 10^{-16} \text{ J.K}^{-4} \cdot \text{m}^{-3}$$

Université Hassan II - Mohammedia
 Faculté des Sciences et Techniques

Mécanique quantique

J.Mejjane & E.H.Atmami

28

Planck : un oscillateur de fréquence ν ne peut émettre ou absorber de l'énergie que par paquets, par **quanta**, de valeur **$h \cdot \nu$**

Cette énergie ne peut donc pas exister en quantité inférieure à **$h \cdot \nu$**

Ondes électromagnétique = grains de photons sans masse

A coté de l'onde de fréquence ν et de direction le vecteur d'onde \vec{k}

il faut associer un photon d'énergie $E = \hbar \omega = h \nu \quad \hbar = \frac{h}{2\pi}$

Et d'impulsion $\vec{P} = \hbar \vec{k}$

$$k = \frac{\omega}{c} = \frac{2\pi \nu}{c} = \frac{2\pi}{\lambda}$$

Université Hassan II - Mohammedia
 Faculté des Sciences et Techniques

Mécanique quantique

J.Mejjane & E.H.Atmami

Introduction aux phénomènes quantiques

29

2.2) Effet photo-électrique

Effet photo-électrique = émission d'électrons extraits à la surface d'un matériau sous l'action d'une onde EM

φ : flux ~ puissance ~ intensité

Collecteur Photoélectrons Vide verre Métal

Lumière de fréquence ν

A V

Université Hassan II - Mohammedia
Faculté des Sciences et Techniques

Mécanique quantique J.Mejjane & E.H.Atmami

30

Observations expérimentales :

En absence de la lumière $i = 0$

En présence de la lumière :

- si $\nu \leq \nu_s$ pas de courant
- si $\nu > \nu_s$ $i \neq 0$ (l'effet a lieu)

Variation de fréquence

Variation de la puissance

Variation de fréquence

Université Hassan II - Mohammedia
Faculté des Sciences et Techniques

Mécanique quantique J.Mejjane & E.H.Atmami

Le Courant de saturation augmente avec la puissance ϕ de la lumière

La barrière de potentiel (V_0) augmente avec la fréquence lumineuse ν

Variation de fréquence

La barrière de potentiel (V_0) ne dépend pas de l'intensité lumineuse

Université Hassan II - Mohammedia
Faculté des Sciences et Techniques

Mécanique quantique J.Mejjane & E.H.Atmami

32

Il faut fournir une énergie seuil (W_s) pour extraire un e^- du métal = à l'énergie d'attraction de l'ion+

Pour un matériau donné, il existe une fréquence seuil ν_s en-dessous de laquelle les e^- ne sont pas émis

En désaccord avec la physique classique !

Si ϕ est grand les forces reliant les e^- à la cathode sont épuisées \rightarrow effet a lieu

Si ϕ est petit \rightarrow effet n'a pas lieu

$\exists \phi_0 / \phi > \phi_0 \rightarrow$ effet a lieu

$\phi < \phi_0 \rightarrow$ effet n'a pas lieu

En effet, ce phénomène est incompatible avec la théorie ondulatoire de la lumière selon laquelle l'effet photoélectrique devrait se produire à n'importe quelle fréquence à condition que l'intensité lumineuse soit suffisante.

Université Hassan II - Mohammedia
Faculté des Sciences et Techniques

Mécanique quantique J.Mejjane & E.H.Atmami

Introduction aux phénomènes quantiques

33


Postulat d'Einstein (1905) :
La lumière incidente est constituée de paquets d'énergie, de photons, d'énergie $E = h\nu = hc/\lambda$

Pour extraire les électrons d'un métal il faut fournir une énergie :
 $h\nu > W_s = h\nu_s$

L'excès d'énergie porté par le photon est transformé en énergie cinétique de l'électron

$$\frac{1}{2}mv^2 = h\nu - W_s \quad \text{doit être } > 0 \text{ et donc } \nu > W_s/h$$

$$E = h\nu = W_s + \frac{1}{2}mv^2 = h\nu_s + \frac{1}{2}mv^2$$


 Université Hassan II - Mohammedia
 Faculté des Sciences et Techniques


Mécanique quantique

J.Mejjane & E.H.Atmami

34

**Travail d'extraction
de certains métaux**

Métal	W_s (eV)
Na	2,28
Al	4,08
Cu	4,70
Zn	4,31
Ag	4,73
Pt	6,35
Pb	4,14
Fe	4,50


 Université Hassan II - Mohammedia
 Faculté des Sciences et Techniques

Mécanique quantique

J.Mejjane & E.H.Atmami

35


Cas limite = cas où l'électron arrive au collecteur avec une vitesse nulle

$$\frac{1}{2}mv^2 = eV_0 \quad e = \text{Charge de l'électron} = 1,6 \cdot 10^{-19} \text{ C}$$

$$V_0 = \frac{h}{e}(\nu - \nu_s)$$

En pratique

$$\left. \begin{array}{l} \frac{1}{2}mv^2 = h\nu - W_s \\ \frac{1}{2}mv^2 = eV_0 + eV \end{array} \right\} \Rightarrow V_0 = \frac{h\nu}{e} - \frac{(W_s + eV)}{e}$$


 Université Hassan II - Mohammedia
 Faculté des Sciences et Techniques

Mécanique quantique

J.Mejjane & E.H.Atmami


36

A côté de l'onde de fréquence ν et de direction le vecteur d'onde \vec{k}

il faut associer un photon d'énergie $E = \hbar\omega = h\nu \quad \hbar = \frac{h}{2\pi}$

Et d'impulsion $\vec{p} = \hbar\vec{k}$

$$k = \frac{\omega}{c} = \frac{2\pi\nu}{c} = \frac{2\pi}{\lambda}$$


 Université Hassan II - Mohammedia
 Faculté des Sciences et Techniques

Mécanique quantique


J.Mejjane & E.H.Atmami

Introduction aux phénomènes quantiques

37

« It seems to me that the observations associated with blackbody radiation, fluorescence, the production of cathode rays by ultraviolet light, and other related phenomena connected with the emission or transformation of light are more readily understood if one assumes that the energy of light is discontinuously distributed in space. In accordance with the assumption to be considered here, the energy of a light ray spreading out from a point source is not continuously distributed over an increasing space but consists of a finite number of energy quanta which are localized at points in space, which move without dividing, and which can only be produced and absorbed as complete units. »

A. Einstein, Ann Phys. 17, 132 (7 mars 1905)


 Université Hassan II - Mohammedia
 Faculté des Sciences et Techniques

Mécanique quantique

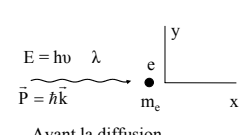
J.Mejjane & E.H. Atmani

38

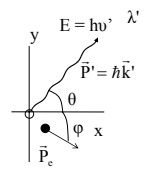
2. 3) Effet Compton (1922)

Compton étudie la diffusion des EM (rayons X) par la matière


Lorsque un faisceau de rayon X attaque une cible d'électrons libres (au repos) ces derniers se mettent en mouvement alors que les rayons X changent de longueur d'onde et de direction.



Avant la diffusion



Après la diffusion


 Université Hassan II - Mohammedia
 Faculté des Sciences et Techniques

Mécanique quantique

J.Mejjane & E.H. Atmani

39


Observation expérimentale :
L'onde réfléchie est de fréquence différente, de longueur différente (λ') que l'onde incidente (λ), λ' > λ

Traitement relativiste vitesse $v \approx c$

Conservation de la quantité de mouvement

Avant la diffusion Après la diffusion

$$\begin{cases} h \frac{c}{\lambda} = h \frac{c}{\lambda'} \cos(\theta) + p_e \cos(\varphi) & (ox) \\ 0 = h \frac{c}{\lambda'} \sin(\theta) - p_e \sin(\varphi) & (oy) \end{cases} \Rightarrow \begin{cases} \left(h \frac{c}{\lambda} - h \frac{c}{\lambda'} \cos(\theta) \right)^2 = (p_e \cos(\varphi))^2 \\ \left(h \frac{c}{\lambda'} \sin(\theta) \right)^2 = (p_e \sin(\varphi))^2 \end{cases}$$


 Université Hassan II - Mohammedia
 Faculté des Sciences et Techniques

Mécanique quantique

J.Mejjane & E.H. Atmani

40

Conservation de l'énergie

Avant la diffusion Après la diffusion


$$h\nu + m_e c^2 = h\nu' + \sqrt{p_e^2 c^2 + m_e^2 c^4}$$

$$h \frac{c}{\lambda} + m_e c^2 = h \frac{c}{\lambda'} + \sqrt{p_e^2 c^2 + m_e^2 c^4}$$

La relation de Compton

$$\lambda' - \lambda = \Delta\lambda = \frac{h}{m_e c} (1 - \cos(\theta))$$

$\frac{h}{m_e c} = 2,43 \cdot 10^{-12} \text{ m} = 2,43 \text{ pm}$ Longueur d'onde Compton de l'é


 Université Hassan II - Mohammedia
 Faculté des Sciences et Techniques

Mécanique quantique

J.Mejjane & E.H. Atmani

Introduction aux phénomènes quantiques

41

Conclusions – résultats expérimentaux

Les ondes électromagnétiques de fréquence ν et de longueur d'onde λ sont composées de photons d'énergie $E = h\nu$ et de quantité de mouvement $p = h/\lambda$.

- Le rayonnement d'un corps noir : **infrarouges, lumière visible et UV**
- L'effet photo-électrique : **lumière visible, et UV**
- Effet Compton : **rayons X**

Université Hassan II - Mohammedia
Faculté des Sciences et Techniques

Mécanique quantique

J.Meziane & E.H.Amani

42

3) Aspects ondulatoires des particules

Université Hassan II - Mohammedia
Faculté des Sciences et Techniques

Mécanique quantique

J.Meziane & E.H.Amani

43

3.1) Problème d'interférences : lumière (Young 1804)

S1 ouvert S2 fermé

S2 ouvert S1 fermé

Ecran

I1

I2

Université Hassan II - Mohammedia
Faculté des Sciences et Techniques

Mécanique quantique

J.Meziane & E.H.Amani

44

S1 ouvert S2 ouvert

Ecran

I

Physique classique
 $I = I1 + I2$

I1

I2

$I \neq I1 + I2$

Expérimentale
 $I = I1 + I2 + 2A1A2$

Université Hassan II - Mohammedia
Faculté des Sciences et Techniques

Mécanique quantique

J.Meziane & E.H.Amani

Introduction aux phénomènes quantiques

45

- La distribution statistique des photons est en accord avec le modèle ondulatoire des ondes EM
- De nouveau on ne peut pas prédire exactement où un photon va aller (probabilité)
- Par quelle fente passe un photon ?
- Est-ce que le photon connaît le chemin à prendre ?

Nature ondulatoire du photon

Le photon = onde

L'intensité I représente la probabilité pour qu'un photon arrive sur l'écran E

Université Hassan II - Mohammedia
Faculté des Sciences et Techniques

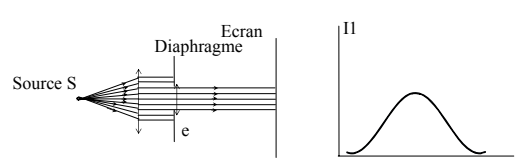
Mécanique quantique

J.Mejjane & E.H. Atmani

46

3.2) Problème de la diffraction des photons

a) $e \gg \lambda$: pas de Diffraction Optique géométrique



Source S

Diaphragme

Ecran

e

I

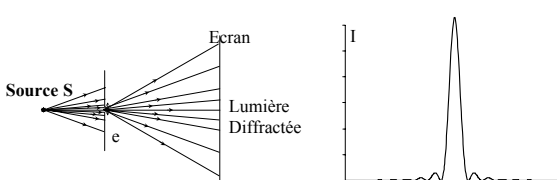
Université Hassan II - Mohammedia
Faculté des Sciences et Techniques

Mécanique quantique

J.Mejjane & E.H. Atmani

47

b) $e \sim \lambda$: Diffraction Optique physique



Source S

Ecran

Lumière Diffractée

e

I

Université Hassan II - Mohammedia
Faculté des Sciences et Techniques

Mécanique quantique

J.Mejjane & E.H. Atmani

48

3.3) Ondes de de Broglie 1924

La lumière (ondulatoire) a des aspects corpusculaires

De Broglie fait l'hypothèse que les corpuscules ont des aspects ondulatoires

A une particule libre de masse m_0 au repos d'énergie total E et d'impulsion p , il associe une onde (de De Broglie) de longueur d'onde λ telle que:

$$\begin{cases} E = \hbar \omega = h \nu \\ P = \hbar k = h \frac{2\pi}{\lambda} = h \frac{2\pi}{\lambda} = mv \end{cases} \quad \text{Soit} \quad \lambda = \frac{h}{m v}$$

Université Hassan II - Mohammedia
Faculté des Sciences et Techniques

Mécanique quantique

J.Mejjane & E.H. Atmani

Introduction aux phénomènes quantiques

49

Pour une particule relativiste, la longueur d'onde de de Broglie est donnée par

$$\lambda = \frac{h}{m v} = \lambda = \frac{h}{m_0 v} \sqrt{1 - \frac{v^2}{c^2}}$$

- Grain de sable :
 $m = 10 \mu\text{g}$, $v = 1 \text{ cm/s} \rightarrow \lambda = 6.6 \cdot 10^{-24} \text{ m}$
- Etre humain :
 $m = 70 \text{ kg}$, $v = 5 \text{ km/h} \rightarrow \lambda = 6.8 \cdot 10^{-36} \text{ m}$
- Electron :
 $m = 9.1 \cdot 10^{-31} \text{ kg}$, $E_{\text{cin}} = 1 \text{ eV} \rightarrow \lambda = 1 \text{ nm}$
 ordre de grandeur des distances interatomiques

Université Hassan II - Mohammedia
Faculté des Sciences et Techniques

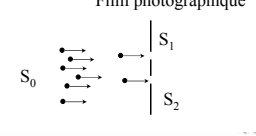
Mécanique quantique

J.Mejjane & E.H. Atmani

50

3.4) Interférence : Particules d'électrons

Film photographique



Copyright © Addison Wesley Longman, Inc.

Après 28 électrons Après 100 électrons Après 10 000 électrons

Résultat expérimental similaire à celui observé pour les photons

Existence d'interférences : distribution des **électrons** donnée par la théorie de l'interférence entre ondes EM

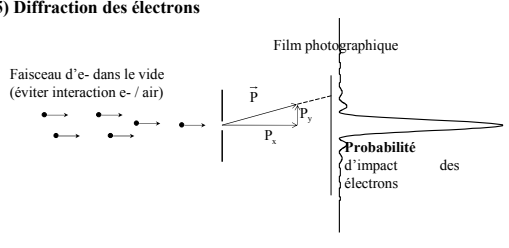
Université Hassan II - Mohammedia
Faculté des Sciences et Techniques

Mécanique quantique

J.Mejjane & E.H. Atmani

51

3.5) Diffraction des électrons



Film photographique

Faisceau d'e- dans le vide (éviter interaction e- / air)

Probabilité d'impact des électrons

Université Hassan II - Mohammedia
Faculté des Sciences et Techniques

Mécanique quantique

J.Mejjane & E.H. Atmani

52

Solution : le concept de fonction d'onde

Les impacts semblent être détectés à certains endroits plutôt qu'à d'autres. Tout se passe comme si *quelque chose favorisait la détection d'impacts*

Notons ce quelque chose $\psi_1(x)$ si S_1 est ouvert et $\psi_2(x)$ si S_2 est ouvert. Alors on peut concevoir que si S_1 et S_2 sont ouvertes, ce quelque chose prend la forme $\psi_1(x) + \psi_2(x)$

Par *analogie optique* : La probabilité de détection varie comme $|\psi(x)|^2$ (densité de probabilité de présence)

Les interférences résultent de l'annulation de $|\psi_1(x) + \psi_2(x)|^2$

Les valeurs de la fonction d'onde $\psi(x)$ obéissent à une équation présentant des similarités avec l'électromagnétisme.

Université Hassan II - Mohammedia
Faculté des Sciences et Techniques

Mécanique quantique

J.Mejjane & E.H. Atmani

Introduction aux phénomènes quantiques

53

En généralisant : $\Psi(\vec{r}, t)$
pour décrire une variation spatio-temporelle quelconque.

On imposera **pour un système à une particule** :
(normalisation de la fonction d'onde)

$$\int_{\text{espace}} |\Psi(\vec{r}, t)|^2 d^3r = 1$$

L'électron se comporte comme une onde

Particule ponctuelle de masse m = onde $\Psi(\vec{r}, t)$

Université Hassan II - Mohammedia
Faculté des Sciences et Techniques

Mécanique quantique

J.Mejjane & E.H. Atmani

54

La Notion de trajectoire est inadéquate (insuffisante) il sera remplacé par la fonction d'onde $\psi(x, t)$

Sa norme est la probabilité de présence $|\psi(x, t)|^2$: densité de probabilité de présence à l'instant t

$|\psi(x, t)|^2$ probabilité de présence entre x et $x+dx$ à l'instant t

Université Hassan II - Mohammedia
Faculté des Sciences et Techniques

Mécanique quantique

J.Mejjane & E.H. Atmani

55

4) Quantification de l'énergie atomique

Université Hassan II - Mohammedia
Faculté des Sciences et Techniques

Mécanique quantique

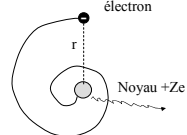
J.Mejjane & E.H. Atmani

56

4) Problème de l'atome de Bohr (1913).

Un atome constitue d' un noyau autour duquel tourne un électron est un dipôle.

Un tel dipôle rayonne un champ électromagnétique (de la lumière).



de l'énergie : il devrait donc s'écrouler sur lui - même !!! Ce n'est évidemment pas ce qu' on observe.

De plus, son spectre d'émission devrait être continu, mais on observe un spectre discret

Université Hassan II - Mohammedia
Faculté des Sciences et Techniques

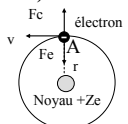
Mécanique quantique

J.Mejjane & E.H. Atmani

Introduction aux phénomènes quantiques

57

4.1) Atome de Bohr



L'électron gravitant autour du noyau de charge Ze sur une orbite circulaire de rayon r , est soumis à deux forces égales et opposées

$$\left. \begin{array}{l} F_e = k \frac{Ze^2}{r^2} \\ F_c = \frac{m_e v^2}{r} \end{array} \right\} \begin{array}{l} \text{Force électrostatique} \\ \text{Force centrifuge} \end{array} \quad \left\{ \begin{array}{l} \text{Équilibre} \\ F_c = F_e \end{array} \right.$$

$$k \frac{Ze^2}{r^2} = m_e \frac{v^2}{r}$$

$$k Ze^2 = m_e v^2 r \quad (1)$$

m_e : masse de l'électron = $9,1094 \cdot 10^{-31}$ kg

$$k = 9 \cdot 10^9 \text{ S. I. dans le vide ou dans l'air}$$

$$k = \frac{1}{4\pi\epsilon_0}$$

Université Hassan II - Mohammedia
Faculté des Sciences et Techniques

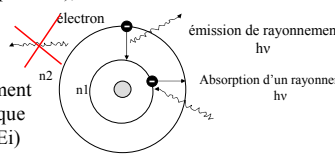
Mécanique quantique

J.Mejjane & E.H. Atmani

58

4.2) Hypothèses de Bohr

- i) l'électron tournant autour du noyau n'émet pas de rayonnement
- ii) l'électron ne peut occuper qu'une suite discrète de niveaux d'énergie
- iii) l'atome émet (ou absorbe) un rayonnement chaque fois qu'un électron passe d'une orbite à une autre correspondant à un niveau d'énergie inférieure (ou supérieure),



La fréquence de rayonnement émis (ou absorbé) est telle que $h\nu = E_i - E_f$ (ou $h\nu = E_f - E_i$)

Université Hassan II - Mohammedia
Faculté des Sciences et Techniques

Mécanique quantique

J.Mejjane & E.H. Atmani

59

iv) Les orbites accessibles à l'électron ont des rayons donnés par

$$r_n = \frac{n\hbar}{m_e v} \quad (2)$$

n est un nombre entier positif : nombre quantique

Le moment cinétique de l'électron dans ce cas s'écrit

$$\vec{\sigma}(e) = \vec{r}_n \wedge m_e \vec{v}$$

Soit en tenant compte de iv)

$$\sigma_n = m_e v r_n = n\hbar \quad (3)$$

Le module mvr ne prend que des valeurs entières de

$$\frac{h}{2\pi} = \hbar$$

Université Hassan II - Mohammedia
Faculté des Sciences et Techniques

Mécanique quantique

J.Mejjane & E.H. Atmani

60

4.3) Energie de l'électron $E = E_c + E_p$: énergie de liaison

$$E_c = \frac{1}{2} m v^2 = \frac{1}{2} k \frac{Ze^2}{r}$$

$$E_p = e^- \cdot V = e^- \cdot k \frac{Ze}{r} = -k \frac{Ze^2}{r}$$

Energie potentiel créée par le noyau de charge Ze en un point distant de r

$$E = E_c + E_p = \frac{1}{2} k \frac{Ze^2}{r} - k \frac{Ze^2}{r} = -\frac{1}{2} k \frac{Ze^2}{r} \quad (4)$$

énergie de liaison de l'électron

Université Hassan II - Mohammedia
Faculté des Sciences et Techniques

Mécanique quantique

J.Mejjane & E.H. Atmani

Introduction aux phénomènes quantiques

61


$$(3)^2/(1) \quad \frac{(m_e v r_n)^2}{m_e v^2 r_n} = \frac{(n\hbar)^2}{k Z e^2}$$

D'où $\frac{1}{r_n} = \frac{4\pi^2 k Z e^2 m_e}{n^2 \hbar^2}$

L'énergie $E = -\frac{1}{2} k \frac{Z e^2}{r}$

devient $E = -\frac{2\pi^2 m_e e^4 k^2}{h^2} \frac{Z^2}{n^2} = -a_0 \frac{Z^2}{n^2}$

Avec $a_0 = 13,6 \text{ e.V}$


 Université Hassan II - Mohammedia
 Faculté des Sciences et Techniques

Mécanique quantique

J.Mejjane & E.H.Atmami

62

4.4) Niveaux d'énergies de l'atome Hydrogène


Nombre quantique n	Énergie en eV
n = ∞	0
n = 5, O	-0,54
n = 4, N	-0,85
n = 3, M	-1,51
n = 2, L	-3,39
n = 1, K	-13,6

La longueur d'onde de l'énergie émise

$$\frac{1}{\lambda} = \frac{\nu}{c} = \frac{E_f - E_i}{hc} = \frac{a_0 Z^2}{hc} \left(\frac{1}{n_i^2} - \frac{1}{n_f^2} \right)$$

Soit $\frac{1}{\lambda} = R_H \left(\frac{1}{n_i^2} - \frac{1}{n_f^2} \right)$

R_H La constante de Rydberg pour l'hydrogène
 $R_H = 1,0967758 \cdot 10^7 \text{ m}^{-1}$



 Université Hassan II - Mohammedia
 Faculté des Sciences et Techniques

Mécanique quantique

J.Mejjane & E.H.Atmami

63

5) Principe d'incertitude de Heisenberg


 Université Hassan II - Mohammedia
 Faculté des Sciences et Techniques

Mécanique quantique

J.Mejjane & E.H.Atmami


64

En physique classique : notion de trajectoire
 On peut mesurer avec précision x et Px

En physique Quantique : la notion de trajectoire est remplacé par la fonction d'onde

On ne peut pas mesurer avec autant de précision x et Px


Toute mesure sur un système quantique se traduit par une perturbation important de ce système.


 Université Hassan II - Mohammedia
 Faculté des Sciences et Techniques

Mécanique quantique

J.Mejjane & E.H.Atmami

Introduction aux phénomènes quantiques



65

Principe d'incertitude entre la position et la quantité de mouvement


$$\Delta x, \Delta P_x \sim \hbar \quad \Delta y, \Delta P_y \sim \hbar \quad \Delta z, \Delta P_z \sim \hbar$$

En général

$$\Delta x, \Delta P_x \geq \hbar/2 \quad \Delta y, \Delta P_y \geq \hbar/2 \quad \Delta z, \Delta P_z \geq \hbar/2$$

Principe d'incertitude entre le temps et l'énergie

$$\Delta E, \Delta t \sim \hbar \quad \Delta E, \Delta t \geq \hbar/2$$



Université Hassan II - Mohammed VI
Faculté des Sciences et Techniques

Mécanique quantique

J.Meziane & E.H. Amani